

Shear Strength of Carbon Fiber Reinforced Concrete Without Transverse Reinforcement

Dr. Ghandi Ali Jahjah*
Dr. Tarek Soulaiman Aslan**
Ramia Badee Ghalia***

(Received 11 / 9 / 2019. Accepted 2 / 3 / 2020)

□ ABSTRACT □

A couple of Decades ago research began in different laboratories in the world about the material of fiber reinforced concrete: glass, plastic, steel, carbon, with a view to its use in civil construction, fibers increase the resistance of the concrete on pressure and tensile but the primary role of it lies in improving concrete behavior and converting it from brittle to plastic. beams are subjected to effect of bending moment and shear strength, It is necessary to present an adequate resist to shear strength, to avoid the happening of any kind of the sudden shear failure. Several studies have recently been conducted to improve the shear strength of concrete beams, Some included add fibers(steel, glass and carbon)to concrete. This research present an experimental and analytical study for adding carbon fibers to the concrete of non-reinforced beams on shear in order to estimate the effect of its on shear strengthof concrete beams. Fifteen concrete beams were tested at different volume fraction of carbon fibers ranging from (0.00-0.25-0.5-0.75-1)%, in groups containing 3 similar beams. The addition of carbon fibers increased the loads causing the first moment crack by (20-30)% and the loads causing the first shear crack by (16.7-33.3)% as well as the failure load by (10.8-32.3)% compared to the non-fiber reinforced beam. There was good agreement were between experimental and analytical results at all loading stages.

Keywords: Shear strengthening –carbon Fiber– shear failure.

* Professor, Department of Structural Engineering, Faculty of Civil Engineering, Tishreen University, Lattakia, Syria.

** Associate Professor, Department of Structural Engineering, Faculty of Civil Engineering, Tishreen University, Lattakia, Syria.

*** Postgraduate Student- Department of Structural Engineering – Faculty Of Civil Engineering – Tishreen University – Lattakia – Syria.

مقاومة القص للجوائز البيتونية المسلحة بالياف الكربون بدون تسلیح عرضي

* د. غاندي علي ججاج

** د. طارق سليمان أصلان

*** رامية بديع غالية

(تاریخ الإيداع 11 / 9 / 2019. قبل للنشر في 2 / 3 / 2020)

□ ملخص □

بدأت منذ عشرات السنين أعمال البحث في مخابر مختلفة في العالم حول مادة البيتون المسلحة بالياف: زجاجية، بلاستيكية، فولاذية، كربونية، بهدف استخدامها في المنشآت المدنية، فهي تزيد مقاومة البيتون على الضغط والشد، لكن الدور الأساسي للألياف يمكن في تحسين سلوكه وتحويله من مادة هشة إلى مادة لينة.

تنزاق في الجوائز عزوم الانعطاف مع قوى القص، فيلزم تأمين مقاومة قص كافية لتجنب حدوث أي شكل من أشكال الانهيار المفاجئ الناتجة عن القص، أجريت حديثاً عدة دراسات لتحسين مقاومة الجوائز البيتونية على القص شمل بعضها إضافة الألياف الفولاذية والزجاجية والكربونية إلى البيتون.

يقدم هذا البحث دراسة تجريبية وتحليلية لإضافة ألياف الكربون إلى بيتون الجوائز غير المسلحة على القص بهدف تقييم أثرها على مقاومة القص للجوائز البيتونية. وقد جرى اختبار 15 جائزًا بيتوبياً أضيف إلى بيتونها ألياف الكربون بنسب حجمية مختلفة هي% (0.00-0.25-0.5-0.75-1)، وذلك ضمن مجموعات تحوي كل مجموعة 3 جوائز لكل نسبة.

أدت إضافة ألياف الكربون إلى زيادة الحمولات المسببة لشق الانعطاف الأول بنسبة% (20-30) وزيادة الحمولات المسببة لشق القص الأول بنسبة% (16.7-33.3) وكذلك حمولة الانهيار بنسبة% (10.8-32.3) مقارنة مع الجائز غير المقوى بالألياف، وكان هناك توافق جيد بين النتائج التجريبية والتحليلية في مراحل التحميل كافة.

الكلمات المفتاحية: مقاومة القص - ألياف الكربون - انهيار القص.

*أستاذ - قسم الهندسة الإنسانية - كلية الهندسة المدنية - جامعة تشرين - اللاذقية - سوريا.

**أستاذ مساعد - قسم الهندسة الإنسانية-كلية الهندسة المدنية-جامعة تشرين-اللاذقية-سوريا.

***طالبة دراسات عليا(دكتوراه)- قسم الهندسة الإنسانية- كلية الهندسة المدنية - جامعة تشرين-اللاذقية - سوريا.

مقدمة:

ينتج البيتون المسلح بالألياف من إضافة الألياف: الفولاذية، الزجاجية، الكربونية، الأرميدية، البازلتية، أو الألياف البولي بروبلين وغيرها إلى البيتون. تلعب الشقوق الداخلية الدقيقة في البيتون دوراً أكبر في تشكيل شقوق أكبر تقلل مقاومة البيتون لقوى الشد، يمكن التغلب على هذه المشكلة بإضافة الألياف لتحسين أداء البيتون حيث تقلل هشاشته وتزيد دلونته، تعاني الألياف من بعض العيوب فالألياف الفولاذية يمكن أن تصدأ وقد تتفاعل الألياف الزجاجية في الوسط الإسمنتي عالي القلوية غير أن الألياف الكربونية هي أكثر أماناً فلا تصدأ كالألياف الفولاذية ولا تتأثر بالوسط الإسمنتي القلوبي كالألياف الزجاجية كما أنها أقل كثافة منها [1].

قدمت أبحاث عديدة لتحسين سلوك العناصر البيتونية في حالة الانعطاف، الضغط، مقاومة القص، المطاوعة، وغيرها حيث قام بعض الباحثين بتحسين سلوك البيتون الهش من خلال إضافة الألياف الفولاذية، الزجاجية، الكربونية وغيرها وكان لكل نوع منها فائدة محددة، في البداية استخدمت الألياف الفولاذية وهي أكثر انتشاراً من باقي الأنواع [2].

مراجعة بحثية:

يتضمن البحث [3] دراسة تأثير إضافة الألياف الفولاذية على مقاومة البيتون في حالة الضغط والشد ، حيث تمت إضافة الألياف الفولاذية بنس比 حجمية مختلفة 0.1%, 0.5%, 1%، مع عينة معيارية بدون ألياف، واستخدمت مواد البيتون بنسبي خلط 1:1.5:3 للتوصيل لقابلية تشغيل جيدة بدون استخدام المواد المحسنة مثل غبار السيليكا، وكان الهدف الأساسي للبحث هو دراسة مقاومة الضغط ومقاومة الشد للعينات جميعها ومقارنة نتائجها، وتميز البحث باستخدام الألياف المقاطعة من سلك التربيب العادي قطر 0.498mm وقطعت بطول 50mm وبالتالي عامل شكل 100.

قدمت الدراسة [4] عرضاً لمركبات خلطات الاسمنت الحاوية على ألياف كربونية قصيرة، وهي تميز بخصائص شد وانعطاف جيدة وانكماش منخفض أثناء الجفاف وحرارة عالية وتوصيل حراري منخفض وتوصيل كهربائي عالٍ ومقاومة صدأ عالية وسلوك كهرو حراري ضعيف، وهي تسهل الحماية المهدبية (الكاثودية) للتسلیح الفولاذی ضمن البيتون، وتتميز بالإحساس بتشوهاتها وتضررها ودرجة حرارتها، لذا فهي تصنف ضمن المواد الذكية. إن معالجة سطح الألياف قد يحسن خصائص المركبات التي تحتويها، تتفوق مركبات ألياف الكربون على مركبات الألياف الفولاذية بقدرتها على استشعار التشوه ولكنها أقل منها في السلوك الكهرو حراري.

أهمية البحث وأهدافه:

إن ألياف الكربون (ذات المقاومة العالية على الشد ومعامل المرونة الكبير) تساعد عند إضافتها إلى البيتون في تحسين أداء البيتون وزيادة مقاومته لقوى القص الناتجة عن حالات التحميل المختلفة للجوائز البيتونية غير المسلحة عرضياً على القص وبالتالي تحول السلوك الهش للبيتون إلى لدن، وتكون أهمية البحث في أنه رغم غلاء ثمن ألياف الكربون إلا أنها تستخدم في المنشآت الخاصة التي تؤثر عليها مركبات كيميائية ممكن أن تتفاعل مع الفولاذ أو المنشآت البحرية أو التي تحوي أجهزة تتأثر بالمغناطيس والتلويم مثل أجهزة الرنين المغناطيسي وغيرها وفي هذا منشآت لا يؤخذ العامل الاقتصادي بالاعتبار لأن الهدف يكون المحافظة على فعالية المنشأة وأدائها في الظروف البيئية المحيطة.

يهدف البحث إلى دراسة تأثير إضافة ألياف الكربون بنسب حجمية مختلفة $V_f\%$ إلى الخلطة البيتونية على مقاومة القص للجوائز البيتونية المسلحة بتسليح طولي فقط، وغير المسلحة عرضياً لمقاومة القص، وحساب نسبة الزيادة في مقاومة القص الناتجة عن إضافة هذه الألياف، تجريبياً وتحليلياً باستخدام برنامج ANSYS 15، بهدف الحساب لاحقاً لمساهمة البeton الحاوي على ألياف الكربون في تحمل قوى القص، وليس اعتبارها بديلاً عن الأسوار، ومن ثم يأتي حساب حصة الأسوار من مقاومة القص وذلك لضرورة استخدامها في المنشآت الخاصة سابقة الذكر.

طرائق البحث ومواده:

اعتمدت في هذا البحث الطريقة التجريبية لدراسة سلوك عدد من الجوائز البيتونية المسلحة طولياً فقط، باستخدام بيتون مضان إليه ألياف الكربون بنسب حجمية مختلفة $V_f\%$ ، وذلك لدراسة تأثير إضافة ألياف الكربون إلى الخلطة البيتونية على مقاومة القص للجوائز المصبوبة من هذه الخلطات. والطريقة التحليلية لدراسة الجوائز ذاتها باستخدام ANSYS 15.

البرنامج التجاري والعينات المختبرة والممواد المستخدمة:

تم تحضير واختبار 15عينة ضمن خمس مجموعات كل مجموعة تحوي 3جوائز متماثلة، الجوائز بأبعاد (2000*200*120mm) مسلحة طولياً يقضبان 2T14mm تسليح سفلي و 2Φ8mm تسليح علوي وتم تثبيت التسليح بثلاث أسوار اثنان في الأطراف وواحدة في المنتصف بقطر Φ6mm. اختلفت المجموعات بالنسبة الحجمية لألياف الكربون $V_f\%$ وكانت (0,0.25,0.5,0.75,1%). وحضرت عينات اسطوانية من كل خلطة بيتونية أثناء صب الجوائز البيتونية، واختبرت على الضغط بعد 28 يوم لمعرفة مقاومة الضغط حسب النسبة الحجمية للألياف لاعتمادها في الدراسة، بواسطة جهاز اختبار الاسطوانات في مخبر تجريب المواد في الكلية، الشكل (1) جهاز اختبار الاسطوانات البيتونية على الضغط، ونتائج اختبار العينات الاسطوانية موضحة بالجدول (1) بالقيمة المتوسطة لكل مجموعة اسطوانات حسب النسبة الحجمية للألياف، وحصلنا بالنتيجة على مقاومة الضغط الموافقة، حيث اعتمت مقاومة 20MPa لتصميم خلطة البeton بدون ألياف لأنها مقاومة البeton الأكثر انتشاراً عملياً، وحصلنا على القيمة المتوسطة لمقاومة الضغط للبenton العادي 21.34MPa وازدادت بإضافة الألياف الكربونية حتى قيمة متوسطة 27.45MPa للأسطوانات بنسبة حجمية 1%， تم حساب هذه المقاومات على الضغط لاستخدامها في الدراسة التحليلية اللاحقة بهدف دراسة تأثير إضافة الألياف على مقاومة القص وليس على مقاومة الضغط فهي ليست محور دراستنا الحالية.



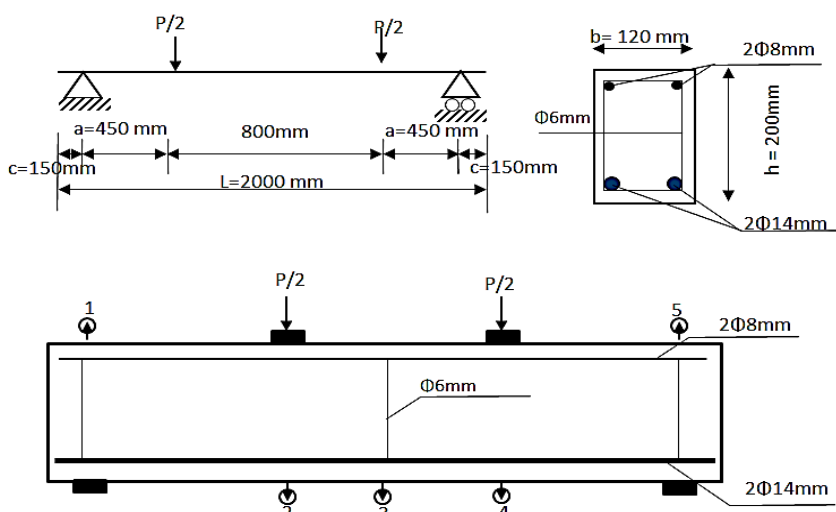
الشكل (1) جهاز اختبار

يبين الجدول(1) تفاصيل الجوائز المختبرة وقيمة مقاومة الضغط المتوسطة للبيتون المستخدم حسب نسبة الألياف الكربونية.

الجدول(1)نتائج اختبار الجوائز تبعاً للنسبة الحجمية للألياف الكربونية المستخدمة.

متوسط مقاومة الضغط للبيتون f_c MPa	نوع التسليج العرضي المقترح	النسبة الحجمية لألياف الكربون $V_f\%$	التسليج الفولاذى العلوى	التسليج الطولي الفولاذى السفلى	اسم الجائز	المجموعة
21.34	مشح بالياف الكاربون في الخطة	0	2Φ8	2T14	B1,B2,B3	الأولى
22.29		0.25			Bc4,Bc5, Bc6	الثانية
23.10		0.5			Bc7, Bc8, Bc9	
26.06		0.75			Bc10, Bc11, Bc12	
27.45		1			Bc13, Bc14, Bc15	

اخترست العينات كجوائز بسيطة الاستناد محملة بمحولتين مركزيتين التباعد بينهما 80cm ويبين الشكل (2) تفاصيل جوائز الاختبار الطولية والعرضية. وتم اختبارها باستخدام الجهاز المعدل المتوفّر في مخبر تجريب المواد ، ويبين الشكل (3) جهاز الاختبار المستخدم، يظهر عليه مواضع مقاييس الانتقالات فقط ليتم حساب السهوم فقط لم نستخدم مقاييس التشوّهات لأن حساب التشوّهات والاجهاد انتليس موضوع بحثنا الحالي، ويظهر في الشكل (4) بعض الجوائز المصوّبة في القوالب والأسطوانات المرافقـة.



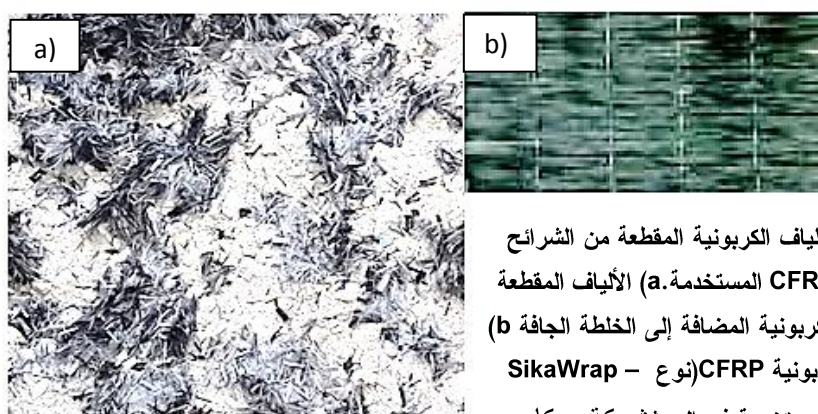


الشكل (3) جهاز الاختبار المستخدم.



الشكل (4) بعض الجوانز المصبوبة في القوالب والأسطوانات المرافقه.

أما الشكل(5) فيبيين الشرائح المستخدمة وهي شرائح ألياف الكربون من شركة سيكا، نوع SikaWrap – 231C والألياف وهي بطول 10mm المستخدمة في الخلطة البيتونية حسب النسبة الحجمية المطلوبة لكل حالة، ويبين الشكل(6) الهيكل الفولاذى ضمن القوالب الخاصة الجاهزة للصب.



الشكل(5) الألياف الكربونية المقطعة من الشرائح البوليمرية CFRP المستخدمة. (a) الألياف المقطعة من الشرائح الكربونية المضافة إلى الخلطة الجافة (b) الشرائح الكربونية CFRP (نوع – 231C) المستخدمة في البحث شركة سيكا.



الشكل(6) الهيكل الفولاذى ضمن القوالب الخاصة الجاهزة للصب.

ركبت خمسة أجهزة لقياس السهوم والانتقالات وفق الشكل(2) و(3) حيث وضع اثنان على محوري الاستناد فوق الجائز واثنان على محوري التحميل تحت الجائز وواحد في منتصف مجاز الجائز، وأخذت قياسات السهوم والانتقالات وفق مراحل التحميل.

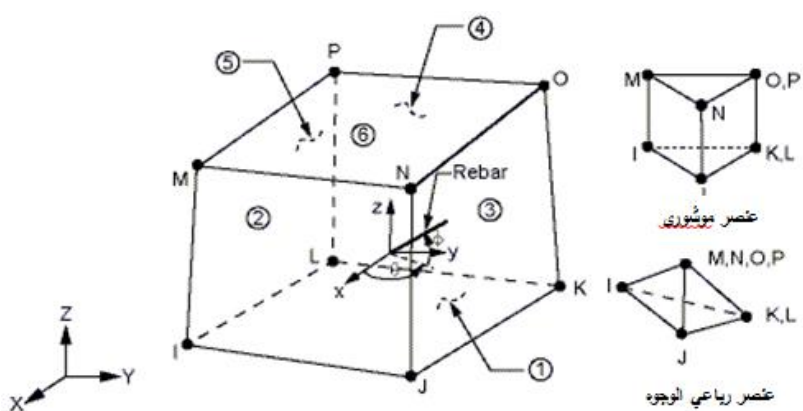
البرنامج التحليلي لنمدجة باستخدام برنامج ANSYS15[5]

تم النمدجة باستخدام ANSYS وفق الخطوات التالية:

1 - تعريف أنواع العناصر:

آنمدةجة البيتون:

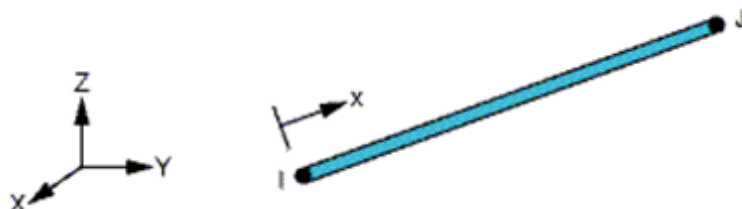
تمت نمدجة البيتون في برنامج ANSYS باستخدام العنصر اللاخطي الحجمي (Solid65) هو عنصر حجمي لاخطي يتتألف من ثمان عقد تملك كل منها ثلاثة درجات حرية هي الانتقالات باتجاه المحاور الثلاثة، ويتمتع بقابلية التشقق تحت تأثير الشد والتحطم في الضغط ونمذجة التسلیح ضمنه بالاتجاهات الثلاثة ويبين الشكل (7)العنصر الحجمي (Solid65).



الشكل (7)العنصر الحجمي [5](Solid65).

ب- نمذجة فولاذ التسليح :

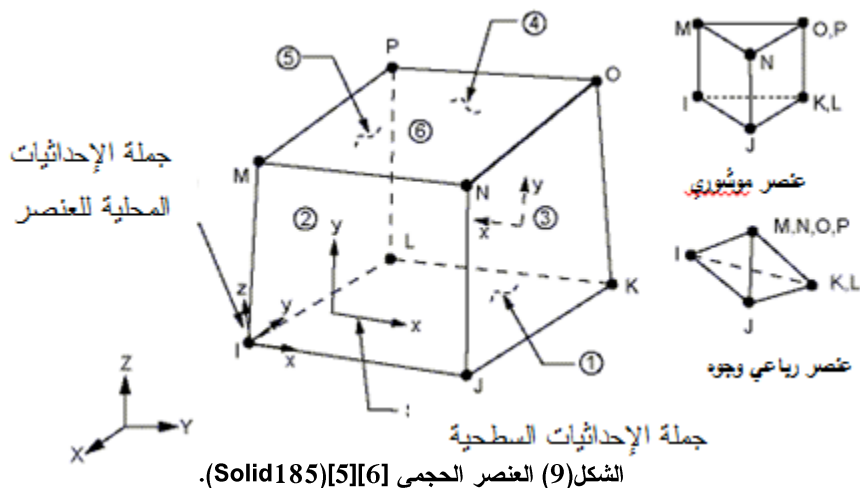
تمت نمذجة فولاذ التسليح كعنصر خطى (Link180) يشتراك مع البيتون بالعقد ذاتها وبالتالي فإن ارتباطه معه تام يتتألف هذا العنصر من عقدتين (j,i) تتمتع كل عقدة بثلاث درجات حرية هي الانتقالات بالاتجاهات الثلاثة (Ux, Uy, Uz) يبين الشكل (8) العنصر الخطى (Link 180).



(الشكل (8) العنصر الخطى [5]).

ج- - نمذجة صفائح الاستناد:

أجريت نمذجة صفائح الاستناد كعناصر حجمية كما هو مبين في الشكل (5)، هذا العنصر الحجمي هو (Solid185) الذي يتتألف من ثمان عقد تتمتع كل واحدة منها بثلاث درجات حرية هي الانتقالات بالاتجاهات الثلاثة (Ux, Uy, Uz)، وهي صفائح فولاذية بأبعاد 120*100*50mm، وعامل مرؤونتها $E_s=200000 \text{ MPa}$ وعامل بواسون $\nu=0.3$ [9][10].



(الشكل(9) العنصر الحجمي [5][6]).

بعد عملية النمذجة وتحديد الخواص الخطية واللاختوية لعناصر الجواز والحمولات وشروط الاستناد تم إجراء التحليل اللاخطي باعتماد خيارات البرنامج الافتراضية بالنسبة لمعيار التقارب، طريقة نيوتن رافسون التكرارية للتحليل اللاخطي وتم توثيق النماذج التحليلية مع الجواز التجريبية، ومن ثم معالجة النتائج ومناقشتها.

تمت نمذجة البيتون حسب منحني الاجهاد- التشوه لكل نسبة حجمية للألياف الناتج من تجرب الضغط على الاسطوانات المحضرة من قبلنا، وبمعامل بواسون يساوي 0.2 ومعامل مرؤونة من منحني الاجهاد التشوه التجاريبي، أما فولاذ التسليح تمت نمذجته باعتبار معامل مرؤونته $E_s=200000 \text{ MPa}$ ومعامل بواسون يساوي 0.3 واعتمدنا

القيمة الوسطية لـإجهاد الخصوص لثلاث عينات مختبرة لكل قطر. أما شروط الاستناد فكانت تقييد الانتقالات وفق المحاور x,y,z للمسند الثابت وتقييد الانتقال وفق المحور y للمسند المتحرك.

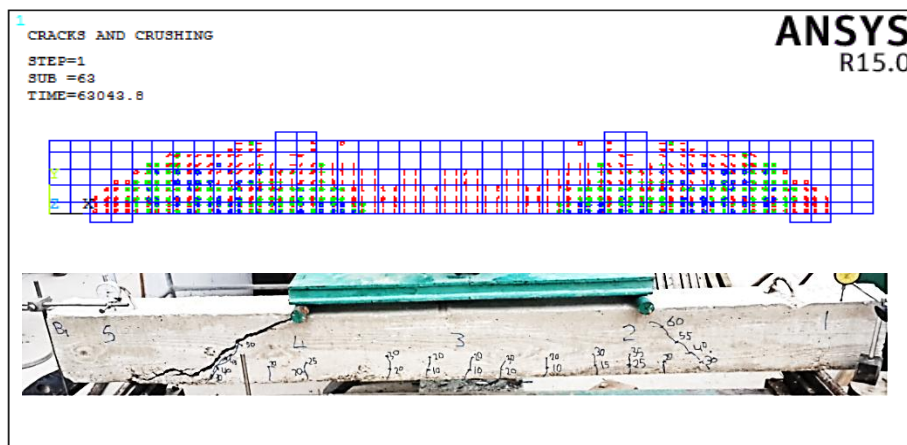
النتائج والمناقشة:

تم اختبار الجوائز تحت تأثير حمولتين مركزتين باستخدام جهاز كسر الجوائز المتوفّر في المختبر بحمولة قصوى $100kN$ ، طبقت على الجوائز بواسطة وزع أحمال وبقيمة ثابتة لمحاز القص $a=450mm$ ونسبة $a/d=450/170=2.64$ ، جرى التحميل بزيادة الحمولة بمقدار $5kN$ تدريجياً مع توقف لأخذ القراءات مع كل زيادة. يبيّن الجدول (2) نتائج اختبارات الجوائز المدرّوسة.

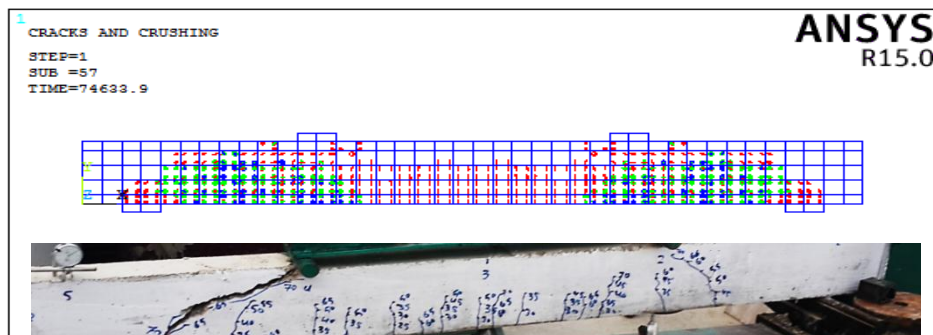
الجدول(2) نتائج الاختبارات للجوائز المدرّوسة

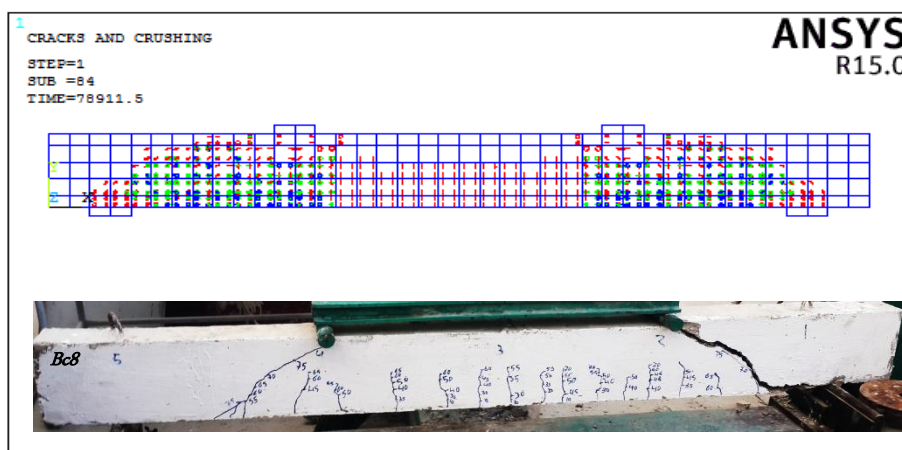
الجائز	الحملة عند ظهور شق الانعطاف الأول kN	الحملة عند ظهور شق القص الأول kN	الحملة عند ظهور الانهيار kN	السهم الأعظمي عند حمولة الانهيار mm	الحملة عند ظهور الانهيار kN	تجريبي	ANSYS	تجريبي	ANSYS	تجريبي	الجائز
B1,B2,B3	10	10.15	30	5.39	63.043	65	ANSYS	تجريبي	ANSYS	تجريبي	ANSYS
BC4,BC5,BC6	10	10.65	35	6.58	74.634	72	ANSYS	تجريبي	ANSYS	تجريبي	ANSYS
BC7,BC8,BC9	12	11.403	35	6.95	78.912	74	ANSYS	تجريبي	ANSYS	تجريبي	ANSYS
BC10,BC11,BC12	13	14.187	40	6.76	81.327	80	ANSYS	تجريبي	ANSYS	تجريبي	ANSYS
BC13,BC14,BC15	13	12.403	40	7.21	87.915	86	ANSYS	تجريبي	ANSYS	تجريبي	ANSYS

تبين الأشكال (10),(11),(12),(13),(14) التشققات وأنماط الانهيار في الجوائز المدرّوسة تجريبياً وتحليلياً، حيث انهارت جميع الجوائز بالقص مع اختلاف في الحمولات المسببة للتشققات والانهيار.

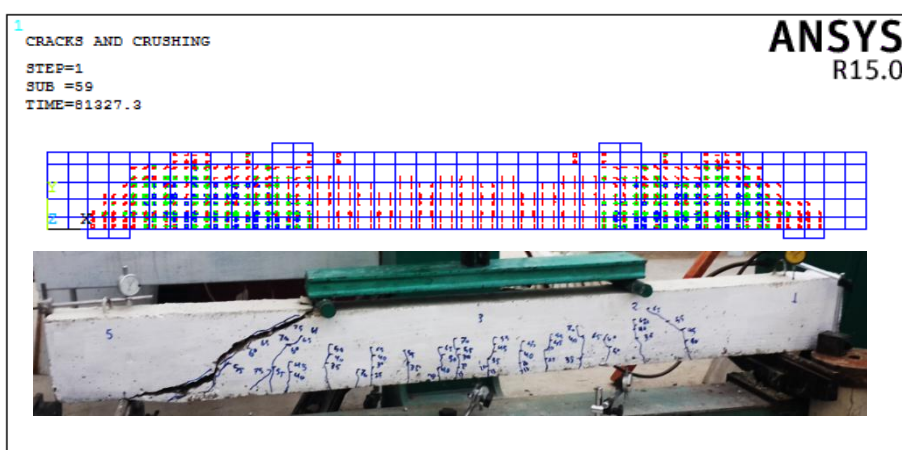


الشكل(10) التشققات ونمط الانهيار في الجائز B1 من جوائز المجموعة الأولى بدون

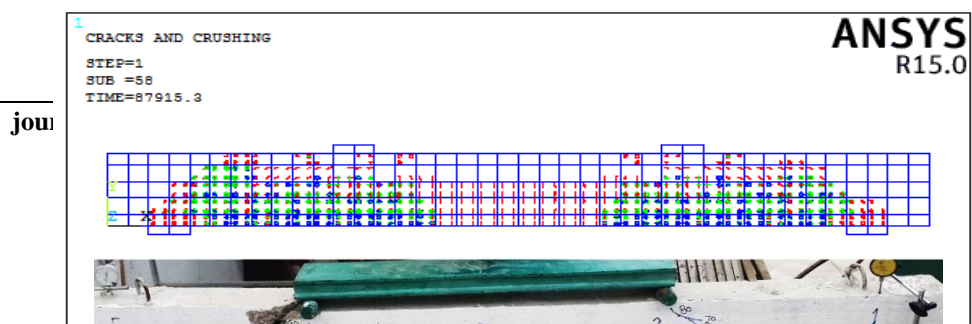




الشكل(12) التشقات ونمط الانهيار في الجائز 8 من جوانز المجموعة الثانية . $Vf\% = 0.5\%$



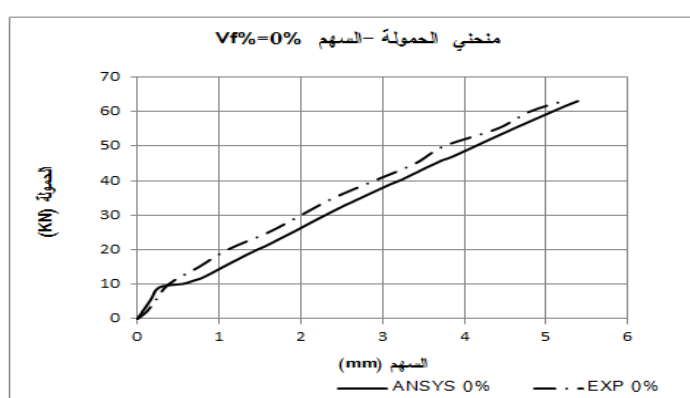
الشكل(13) التشقات ونمط الانهيار في الجائز 10 من جوانز المجموعة الثانية



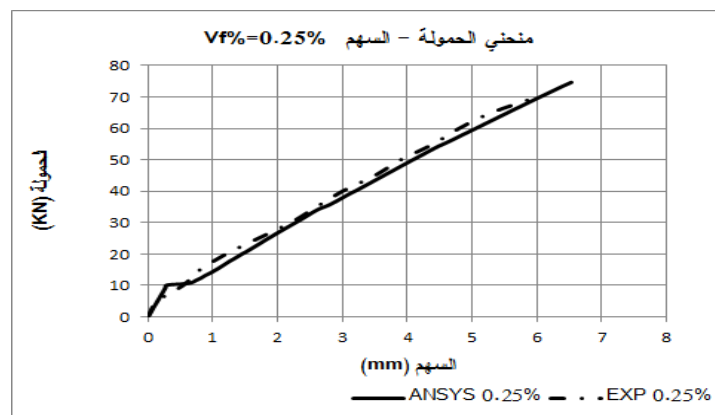
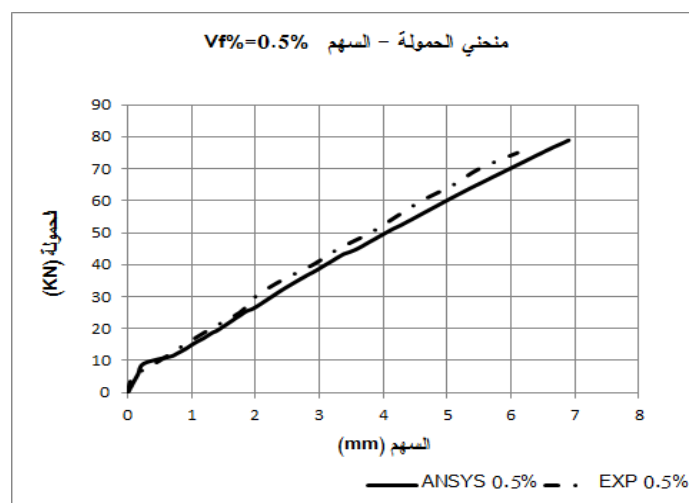
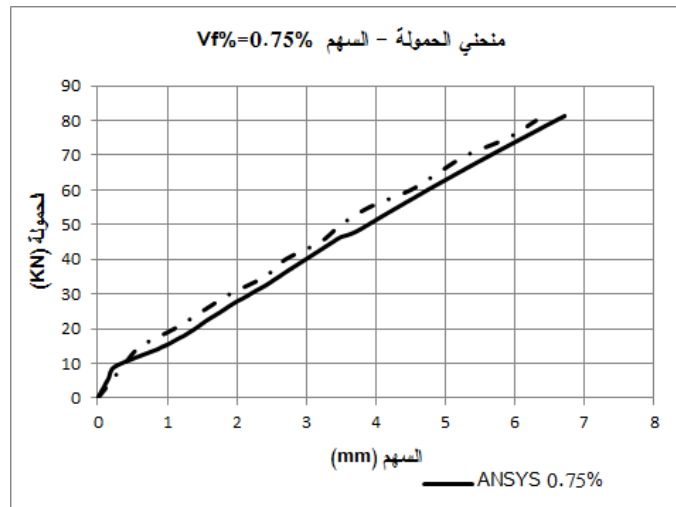
يلاحظ من الأشكال من (10) إلى (14) أنه:

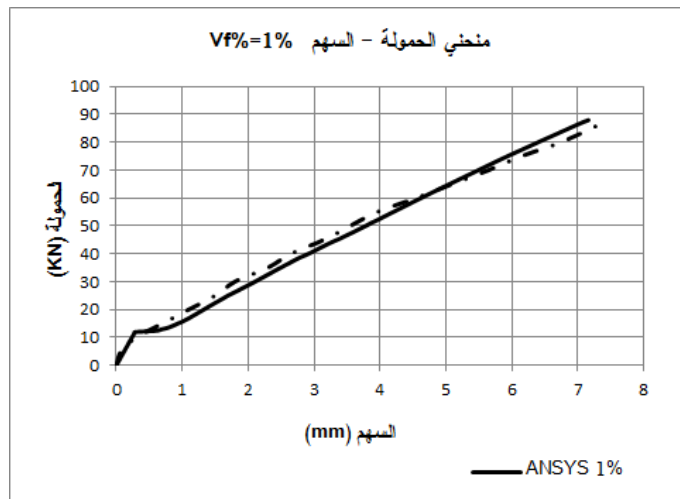
- تشكلت تشققات الانعطاف الشاقولية في مراحل التحميل الأولى ثم ازدادت وانتشرت مع زيادة الحمولة باتجاه المسائد، بدأت تمثل لتشكل تشققات قطرية، ثم تشكل (في منطقة مجاز القص) شق القص القطري الرئيسي الذي استمر بالامتداد والتوسيع حتى الانهيار ولوحظ أن ذروته تقع تحت الحمولة المركزية تماماً.
- أدت إضافة ألياف الكربون إلى زيادة الحمولات المسببة لشق الانعطاف الأول بنسبة 30% (زيادة 20%) مقارنة بالحمولات المسببة لشق القص الأول بنسبة 32.3% (ـ 16.7% - 33.3%) وكذلك حمولة الانهيار بنسبة 47% (ـ 10.8% - 15.4%)، وكذلك حافظت الحمولات المسببة لشق الانعطاف الأول على نسبتها إلى حمولة الانهيار بقيمة وسطية تجريبياً.
- تشكلت تشققات القص المائلة في كل الجواز من الجهتين ولكن تمدد الشق في إحداها أكثر من الثانية ويعزى هذا لأن البيتون مادة غير متجانسة، وبالتالي لا تكون التشققات متزامنة تجريبياً كما هي تحليلياً إذ تعتبر مادة متجانسة في الدراسات التحليلية. وهذا يفسر عدم تناظر الشق المائل عند إضافة 0.5%، وتطوره من الطرفين وشبه تناظره عند إضافة 1%، وحصول الانهيار في الجهة التي تصل إلى حد المقاومة على القص أولاً بسبب عدم التجانس في المادة وتبعاً لمقاومة المونة والصوابيات، إن الانهيار على القص دائمًا مفاجئ وتلعب الألياف دوراً في زيادة الحمولة التي يمكن أن يتحملها الجائز.

تطهر الأشكال من (15) إلى (19) منحنيات الحمولة - السهم في منتصف الجائز المدروس تجريبياً وتحليلياً.



الشكل (15) مخطط الحمولة - السهم للجائز . $Vf\% = 0\%$

الشكل(16) مخطط الحمولة - السهم للجائز $.Vf\% = 0.25\%$ الشكل(17) مخطط الحمولة - اسهم للجائز $.Vf\% = 0.5\%$ الشكل(18) مخطط الحمولة - السهم للجائز $.Vf\% = 0.75\%$



الشكل(19) مخطط الحمولة - السهم للجائز 1%.

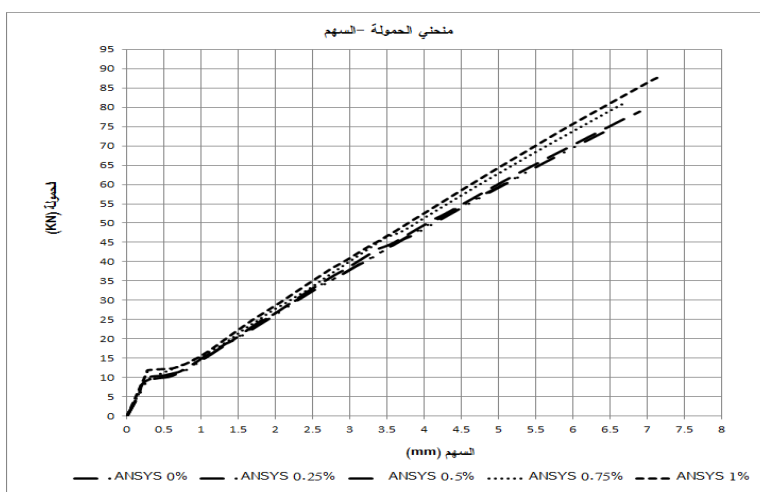
تبين المخططات من (15) إلى (19) والجدول (2) وجود توافق جيد بين النتائج التجريبية والتحليلية في مراحل التحميل كافةً، وهذا يؤدي إلى إمكانية اعتماد النماذج التحليلية للدراسة وتقدير نتائج الجوائز التجريبية، في حالات تحمل وشروط أخرى.

يبيّن العنصر التحليلي صلابة أكبر من التجاري في مراحل التحميل الأولى حتى حدوث شق الانعطاف الأول حيث يصبح شبه تطابق بين النموذج التحليلي والتجريبي.

تراوحت الفروقات بين قيمة حمولة الانهيار التجريبية والتحليلية لجوائز الدراسة كافةً بين % (1.63-3.35) وترأوحت نسبة الاختلاف في قيمة السهم عند الانهيار بين % (9.46-1.25).

تراوحت نسبة الاختلاف في قيمة الحمولة المسببة لشق الانعطاف الأول بين % (8.37-1.48)، أما نسبة الاختلاف في قيمة الحمولة المسببة لشق القص الأول فتراوحت بين % (8.41-0.74).

يبين الشكل (20) مقارنة بين مخطط السهم - الحمولة لجوائز الدراسة وفيه يظهر أن إضافة ألياف الكربون للبيتون تزيد من صلابة الجوائز طرداً مع النسبة الحجمية للألياف.



الشكل(20) مقارنة مخططات الحمولة - السهم للجوائز المدرستة تحليلياً وفق

الاستنتاجات والتوصيات:**الاستنتاجات:**

- 1 - إن إضافة ألياف الكربون تؤدي إلى زيادة الحمولات المسببة لشق الانعطاف الأول بنسبة 30% (20-32.3%) مقابل زيادة في مقاومة الضغط تراوحت بين 4.45-28.63%.
- 2 - بلغت نسبة الحمولة المسببة لشق الانعطاف الأول إلى حمولة الانهيار 15.4% وسطياً لكل الجواز، وبلغت نسبة الحمولة المسببة لشق القص الأول إلى حمولة الانهيار بقيمة وسطية 47%， وبالتالي تمثلت نسبة الحمولات المسببة لشق الانعطاف الأول إلى حمولة الانهيار والحمولات المسببة لشق القص الأول إلى حمولة الانهيار بين الجواز المدعمة بالياف والجائز غير المدعم.
- 3 - توافق النتائج التجريبية والتحليلية في مراحل التحميل كافةً، وهذا يقود إلى إمكانية اعتماد النماذج التحليلية للدراسة وتوقع نتائج الجواز التجريبية، في حالات تحميل وشروط أخرى.
- 4 - تراوحت الفروقات بين قيمة حمولة الانهيار التجريبية والتحليلية لجواز الدراسة كافةً بين 1.63% و3.35% وتراوحت نسب الاختلاف في قيمة السهم عند الانهيار بين 9.46%-1.25%， وتراوحت نسب الاختلاف في قيمة الحمولة المسببة لشق الانعطاف الأول بين 8.37%-1.48%， أما نسب الاختلاف في قيمة الحمولة المسببة لشق القص الأول فتراوحت بين 8.41%-0.74%.
- 5 - تزداد صلابة الجواز البيتونية طرداً مع النسبة الحجمية لألياف الكربون المضافة عند نسب حجمية تتراوح بين 0.1%.

التوصيات:

- 1 - استخدام النماذج التحليلية المؤنقة كطريقة عددية لدراسة بعض المتغيرات التي تحتاج الكثير من الوقت والكلفة في حال تمت دراستها تجريرياً.
- 2 - دراسة تأثير الحمولات الديناميكية على الجواز المسلحة بالياف عموماً وبالياف الكربون خصوصاً، ودراسة تأثيرها على التقلص وعلى الزحف لحالات التحميل طويل الأمد.
- 3 - إجراء دراسات معمقة لإضافة ألياف الكربون إلى البيتون بنسب حجمية مختلفة أصغر وأكبر من 1% وبأطوال مختلفة، لدراسة ومقارنة قيم السهم من أجل حمولات الاستثمار.
- 4 - إجراء دراسات للمقارنة بين أنواع مختلفة من الألياف، وإجراء دراسات لاستخدام أكثر من نوع من الألياف معاً ودراسة تأثيرها على مقاومة الضغط للبيتون ومقاومة القص للجواز وكذلك الانعطاف والسهوم والشققات.

References:

- 1-KHALIL,WASANI.&ABDULRAZAQ, AKAR. *Mechanical Properties of High Performance Carbon Fiber Concrete*. Eng. & Tech. Journal, Vol.29, No.5, 2011,906-924.
- 2 - AL-LAMI, KARRAR ALI, *Experimental Investigation of Fiber Reinforced Concrete Beams*. Dissertations and Theses, Portland State University, 2015, pp.118.
- 3-TANOLI, WAQAS ARSHAD.NASEER, AMJAD.WAHAB, FAZLI. *Effect of Steel Fibers on Compressive and Tensile Strength of Concrete*. International Journal of

Advanced Structures and Geotechnical Engineering ISSN 2319-5347, Vol. 03, No. 04, 2014, 393-397.

4-CHUNG,D.D.L.*Cement reinforced with short carbon fibers: a multifunctional material.* Composites: Part B 31, 2000, P. 511-526.

5 - ANSYS,ANSYS User's Manual Revision 15. ANSYS, Inc, Canonsburg, Pennsylvania, 2015.

6 - ANTHONY, J. WOLANSKI, B. S. *Flexural Behavior Of Reinforced And Pre stressed Concrete Beams Using Finite Element Analysis.* Master Thesis, Marquette University, Milwaukee Wisconsin , 2004, pp87.